



Departamento de Ciência da Computação - UFJF
DCC163 - Pesquisa Operacional

Problema de alocação de corredor

Tales Lopes Silva
Filipe Barreto
Igor Tibiriçá

Novembro / 2018

1 Introdução

O problema de alocação de corredor [Santana and dos Santos,], ou CAP (Corridor Allocation Problem) , é um problema NP-difícil e possui como objetivo a alocação de instalações ao longo de um corredor, sem sobreposição, de forma a otimizar sua comunicação, ou seja, minimizar o custo de comunicação entre suas instalações. Essa organização física recebe o nome de *leiaute*.

Para desenvolvimento do problema são consideradas duas filas horizontais ao longo do corredor, além de duas regras para o desenvolvimento da solução: (i) o início do corredor representa um ponto de origem em comum para ambas as filas, (ii) não é permitido a existência de espaços vazios entre as instalações. A **figura 1** exemplifica o uso e não uso dessas duas regras.

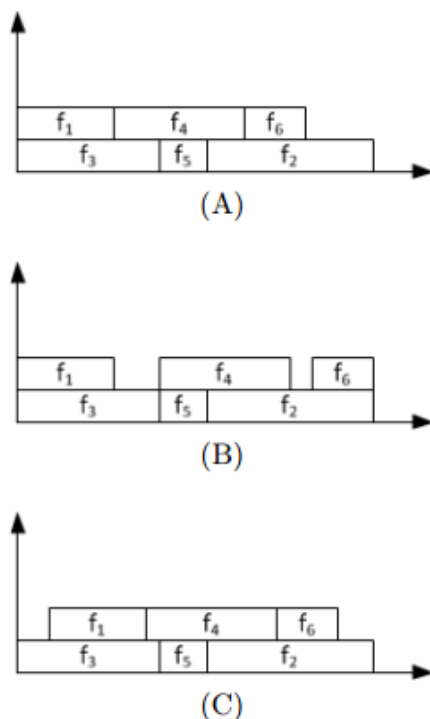


Figura 1. Exemplo de solução viável (a) e soluções inviáveis (b) e (c).

A ideia de minimizar o custo de comunicação entre as instalações de um corredor

surge a partir da necessidade de organização que alguns lugares, como escolas, mercados e hospitais, possuem devido ao intenso tráfego entre salas. Esse fato serve, também, como justificativa para a escolha do tema desse trabalho, visto que é um problema atual e rotineiro com aplicações práticas, sendo de extrema importância seu estudo para um melhor planejamento de locais onde o tempo atua de forma determinante.

O trabalho possui como objetivo a aplicação do *método simplex*, com as respectivas definições de regras e restrições, para a resolução e desenvolvimento do problema que envolve testes e análises de resultados.

2 Trabalhos Relacionados

O problema de alocação de instalações foi primeiramente proposto por [Simmons, 1969] e recentemente introduzido por [Amaral, 2012]. [Amaral, 2012] utiliza programação inteira e obtém solução ótima para instâncias de até 13 instalações, utilizando cplex 12.1.0 como resolvidor. Já para instâncias contendo 15 instalações a utilização do cplex 12.1.0 não obteve solução ótima, mesmo após 8,6 horas de execução, em decorrência disso heurísticas de busca em vizinhança também foram utilizadas para abordar o problema em instâncias de até 30 instalações.

O tema também foi estudado em diversos outros trabalhos que abordam o problema de diferentes perspectivas. [Ghosh and Kothari, 2012a] ressaltam que CAP é parte de um grupo de problemas de disposição de instalações que envolve a organização de instalações em fileira única (single row facility layout problem, SRFLP) e a organização de instalações em fileira dupla (double row facility layout problem, DRFLP), sendo esse último o foco de seu trabalho. Em decorrência dos resultados obtidos por [Amaral, 2012], [Ghosh and Kothari, 2012a] propõem 2 metaheurísticas a ser aplicadas em instâncias de médio e grande porte do problema CAP, mais em específico o SRFLP.

Outras estratégias que abordam SRFLP foram realizadas em [Kothari and Ghosh, 2013], onde é apresentada uma heurística de busca em vizinhança, LK-INSERT, para tratar o problema, e [Kothari and Ghosh, 2014], onde são apresentados quatro algoritmos de dispersão para resolver instâncias de grande porte. Além disso, [Kothari and Ghosh, 2012] faz uma revisão literária para uma maior compreensão desse tipo de abordagem para o problema.

[Chung and Tanchoco, 2010] introduzem a abordagem que utiliza fileira dupla, DRFLP, porém, as duas regras descritas na seção 1 desse trabalho, não precisam, necessariamente, serem cumpridas, como mostra a **figura 2**.

A abordagem de [Amaral, 2012] para resolver o problema CAP com programação inteira se mostrou ineficiente para instâncias maiores devido ao problema pertencer à classe NP-

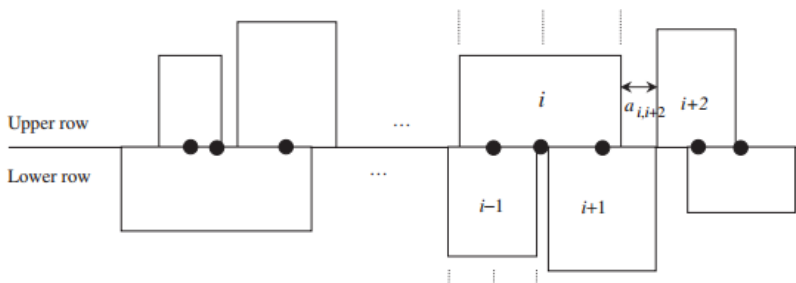


Figura 2. DRFLP

Difícil, com isso outros trabalhos que abordam a solução do problema CAP surgiram afim de fazer uso de diferentes heurísticas para lidar com instâncias maiores. [Santana and dos Santos,] utilizam uma busca local iterada, [Ahonen et al., 2014] abordam o problema utilizando busca Simulated Annealing e busca Tabu, enquanto que, [Ghosh and Kothari, 2012b] utilizam um algoritmo genético híbrido afim de solucionar o problema.

Todos os trabalhos descritos acima foram estudados e servem como embasamento teórico para compreensão do problema e resolução desse trabalho. Além disso, foram observadas quais instâncias foram utilizadas, pelos autores, para trabalhar com o problema, afim de que as mesmas instâncias pudessem ser obtidas e utilizadas no presente trabalho com o propósito de comparação com os resultados da literatura, senão, que ideias de construção das mesmas pudessem ser aplicadas.

3 Definição do problema

O problema de alocação de corredor, CAP, tem como objetivo a organização de salas ou instalações ao longo de um corredor, minimizando o custo de comunicação entre as mesmas. Os corredores podem ser representados através de linhas horizontais paralelas ao eixo x , no plano cartesiano, onde cada instalação possui um comprimento específico ao longo desse eixo. Um lado do corredor, com as respectivas salas alocadas, recebe o nome de *alocação*. A distância, largura, entre as duas alocações é desprezada nesse problema.

Como mencionado na seção 1, as duas regras impostas para o problema são: (i) o início do corredor representa um ponto de origem em comum para ambas as filas, (ii) não é permitido a existência de espaços vazios entre as instalações.

Um *leiaute* representa uma solução para a organização das instalações, ou a melhor combinação de alocações, cujo objetivo é encontrar o melhor *leiaute* possível. O custo de

um *leiaute* se dá pela soma do centro de cada par de instalações do modelo. A utilização do centro de cada instalação é justificada pelo fato de que a porta de cada sala está situada no centro de sua respectiva instalação.

De acordo com [Amaral, 2012] o *leiaute* de uma solução pode ser representado como uma permutação P em dois componentes $[p_1, p_2]$, onde p_1 e p_2 representam alocações constituídas pelo arranjo das instalações em cada um dos lados do corredor. Um exemplo retirado de [Santana and dos Santos,] pode ser visto na **figura 3**, onde $P = (5,1,7,2,4,6,3)$, $p_1 = (5,1,7,2)$ e $p_2 = (4,6,3)$. É importante notar que, nesse exemplo, as 2 regras para o problema CAP são obedecidas.

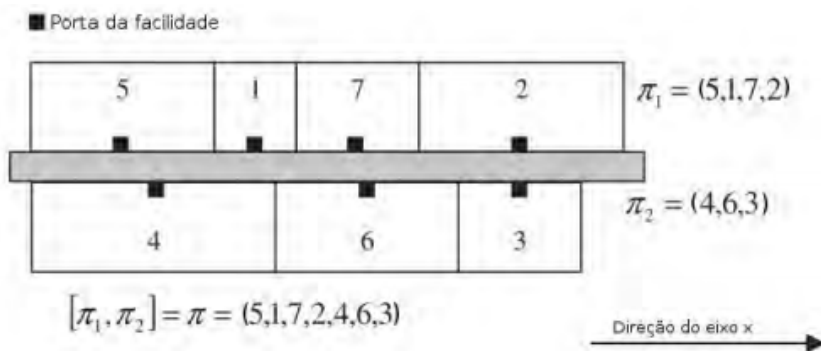


Figura 3. Exemplo de solução de CAP, retirado de [Santana and dos Santos,], adaptado de [Ahonen et al., 2014]

Alguns valores a ser considerados para o CAP são:

- n número de instalações
- $C_{\pi_r(i), \pi_s(j)}$ média de tráfego entre i -ésima e j -ésima instalação da linha s ($1 \leq r \leq s \leq 2$)
- $x_{\pi_r(i)}$ abscissa do centro da i -ésima instalação na linha r ($r \in \{1, 2\}$)

De acordo com [Amaral, 2012], a função objetivo a ser minimizada está explícita em (1), presente na **figura 4**, e se traduz pela soma do custo de comunicação entre cada par de sala. A função objetivo considera custos de comunicação entre elementos de uma mesma fila e filas opostas. A restrição que garante a não existência de espaços entre instalações adjacentes, e a não sobreposição de instalações, é demonstrada em (2), também presente na **figura 4**.

Uma instância do problema CAP pode ser representada por (F, L, C) , onde F é o conjunto de instalações, L é um vetor contendo o comprimento das instalações e C é a matriz de

$$\min_{[\pi_1, \pi_2]: [\pi_1, \pi_2] \in \Pi_n} \left\{ \sum_{i=1}^{|\pi_1|-1} \sum_{j=i+1}^{|\pi_1|} c_{\pi_1(i), \pi_1(j)} |x_{\pi_1(i)} - x_{\pi_1(j)}| \right. \\ \left. + \sum_{i=1}^{|\pi_2|-1} \sum_{j=i+1}^{|\pi_2|} c_{\pi_2(i), \pi_2(j)} |x_{\pi_2(i)} - x_{\pi_2(j)}| \right. \\ \left. + \sum_{i=1}^{|\pi_1|} \sum_{j=1}^{|\pi_2|} c_{\pi_1(i), \pi_2(j)} |x_{\pi_1(i)} - x_{\pi_2(j)}| \right\} \quad (1)$$

onde,

$$x_{\pi_r(j)} = \frac{l_{\pi_r(j)}}{2} + \sum_{i=1}^{j-1} l_{\pi_r(i)}, r \in 1, 2; 1 \leq j \leq n. \quad (2)$$

e $l_{\pi_r(j)}$ é o tamanho da j -ésima facilidade na linha r .

Figura 4.

pesos.

4 Formulações matemáticas

O modelo de programação linear a seguir define como devem ser organizadas as salas ao longo dos dois lados de um corredor. Considerando o conjunto de salas (instalações) $I = \{1 \dots n\}$ e, seja $A = \{a_1, a_2, \dots, a_n\}$ o conjunto de composições de lados do corredor (alocações), temos as seguintes informações:

DADOS

1. s_{ia} : 1 caso a sala i esteja em a , 0 caso contrário
2. p_{ia} : posição da porta (abscissa) da sala i em a
3. t_{ij} : tráfego entre sala i e j

VARIÁVEIS

1. x_a : variável do tipo inteira que possui valor 1 caso alguma alocação de a tenha sido selecionada.

2. y_i : variável fracionária que indica a posição da porta da sala i .
3. d_{ij} : variável fracionária que indica a distância da sala i para a sala j .

$$\text{Minimizar} \quad \sum_{i=1}^n \sum_{j=1}^n t_{ij} d_{ij} \quad (1a)$$

sujeito a

$$\sum_a x_a = 2 \quad \forall a \in A \quad (1b)$$

$$\sum_a s_{ia} x_a = 1 \quad \forall i \in I \quad (1c)$$

$$\sum_a p_{ia} x_a = p_i \quad \forall i \in I \quad (1d)$$

$$p_i - p_j \leq d_{ij} \quad \forall i, j \in I \quad (1e)$$

$$p_j - p_i \leq d_{ij} \quad \forall i, j \in I \quad (1f)$$

A função objetivo, definida em (1a), consiste em minimizar o custo total de tráfego entre salas de um corredor, com $d_{ij} \geq 0$ e $t_{ij} \geq 0$. Analisando as restrições temos que, (1b) garante a existência de, apenas, duas alocações, na solução, com $x_a \in \{0, 1\}$. (1c) define que toda sala está em apenas uma das alocações. (1d) garante, apenas, a utilização da porta p_{ia} referente à alocação a , utilizada. Ambas restrições (1e) e (1f) estão relacionadas com o cálculo da distância entre as salas e, garantem que a distância entre a abscissa de duas salas será, no máximo, igual a distância entre essas salas, respeitando $y_i \geq 0$.

5 Algoritmo proposto

A abordagem proposta, para resolver o problema, consiste na utilização de uma heurística construtiva para criação de uma solução inicial, seguida da geração de múltiplas soluções, utilizando a solução obtida pelo construtivo, como ponto de partida. Por fim, é empregado a aplicação do resolvedor Gurobi, para geração da solução final. A explicação de cada algoritmo é descrita a seguir.

Todo o problema foi desenvolvido na linguagem Python, utilizando o sistema operacional Ubuntu 14.4, uma máquina com processador i5 e 4mb de memória ram.

5.1 Leitura das Instâncias

Primeiramente, para o desenvolvimento do trabalho, é necessário a realização da leitura das instâncias. Cada instância consiste em dois arquivos .txt, um contendo o tamanho das partições (*tamanho.txt*), outro contendo os tráfegos entre cada sala presente na instância (*trafego.txt*). O tamanho das salas é lido e salvo em um vetor, enquanto que, o tráfego entre as salas é representado através de um matriz triangular superior. Os valores abaixo da diagonal principal, incluindo a diagonal principal da matriz, tiveram valor atribuído igual a -1, visto que existem valores de tráfego iguais a 0, nas instâncias.

5.2 Abordagem Construtiva

A abordagem construtiva, baseada nas estratégia descrita em [Santana and dos Santos,], consiste em minimizar a distância entre salas que possuam alto tráfego entre si. A ideia se baseia no balanceamento de alocações, no que diz respeito à tráfego e distância. A função objetivo, de maximização, é atendida, tanto aproximando salas pequenas, quanto salas que possuam um alto valor de tráfego entre si.

Sendo assim, dado duas alocações i e j , o valor que queremos maximizar é calculado pela razão definida em (2).

$$z = \text{trafego}(i, j) / \text{distancia}(i, j) \quad (2)$$

Inicialmente, duas salas, da instância, são colocadas na solução. Uma é inserida na primeira alocação, outra na segunda alocação. Em seguida, para cada uma das sala que ainda não está na solução, é realizado o cálculo de z com as últimas salas inseridas em cada uma das alocações. Logo, a execução do procedimento construtivo pode ser considerada como uma estratégia *gulosa*, maximizando z para salas adjacentes. Um exemplo, de como é realizado o procedimento, pode ser visto na **figura 5**.

5.3 Geração de Alocações

A partir da primeira solução, contendo duas alocações, gerada pelo algoritmo construtivo, outras soluções, também contendo duas alocações, são geradas.

Duas são as formas para a geração das outras soluções: (i) realizar a troca entre duas posições, aleatórias, da mesma alocação, **figura 6**, (ii) realizar a troca entre duas posições, aleatórias, de alocações distintas, **figura 7**, da mesma solução. Apenas a estratégia (i), **figura 6**, foi adotada nesse trabalho.

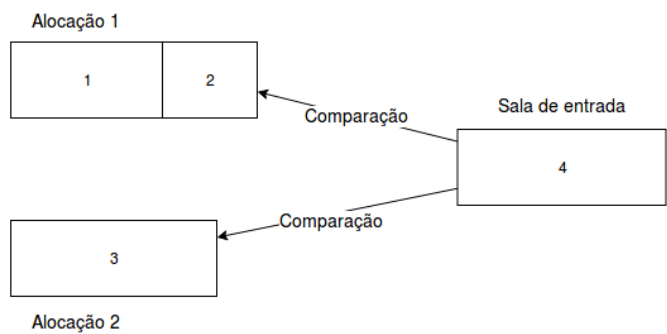


Figura 5. Comparação entre salas fora da solução e a última sala inserida em cada alocação.

Toda a abordagem construtiva é realizada N vezes, cada uma das vezes é gerada uma nova solução inicial, e, com base na solução gerada, x alocações são geradas. Todas as alocações geradas, após as N execuções do construtivo, são utilizadas como variáveis para o resolvidor.

Por fim o modelo de programação linear (PL) é implementado no *Gurobi* seguindo o modelo definido na **seção 4** desse trabalho.

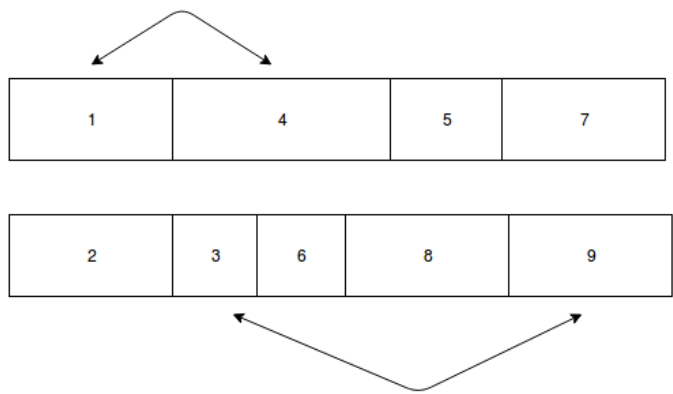


Figura 6. Troca entre duas salas da mesma alocação.

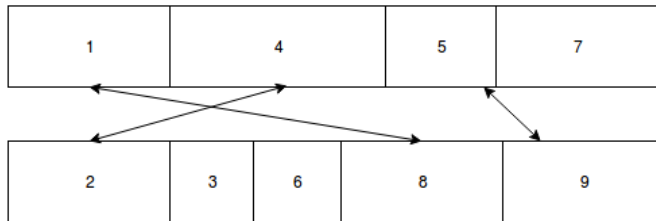


Figura 7. Troca entre duas posições de diferentes alocações.

6 Experimentos computacionais

Para a experimentação, primeiramente, foi gerada uma instância pequena, através de uma função geradora de instância, implementada, para validação. Em seguida, testes com instâncias da literatura, disponíveis em <http://www.miguelanhos.com/flplib>, foram realizados afim de comparar os resultados obtidos, pelo método implementado, com os resultados ótimos, conhecidos, de cada instância.

6.1 Validação

A instância de validação, gerada, possui três salas e um valor ótimo conhecido, referente à função objetivo, igual a 4,5.

A validação foi utilizada com a ideia de avaliar e solucionar problemas possíveis de ocorrer, durante a execução do programa, assim como, verificar a corretude do algoritmo em todas etapas da implementação. A estrutura da instância pode ser visualizada na figura 8, assim como a melhor solução obtida, que equivale ao valor ótimo de 4,5.

6.2 Experimentação

Instâncias, retiradas da literatura, foram utilizadas para análise de desempenho do algoritmo, principalmente, pelo fato de se conhecer a solução ótima para essas instâncias. O número de salas varia entre 5 e 15, para essas instâncias.

Encontrar a melhor solução depende diretamente das alocações fornecidas pelo construtivo, que, no caso, são geradas aleatoriamente trocando-se posições de salas. Sendo assim, devido ao fato de que, em apenas uma execução, as alocações criadas podem não favorecer à construção da melhor solução, foi adotado a execução do algoritmo em 50 iterações, ou seja,

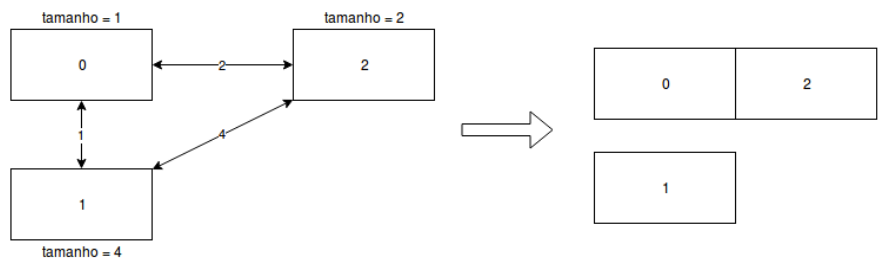


Figura 8. Instância de validação.

o algoritmo construtivo é executado 50 vezes, produzindo, a cada iteração, uma nova solução e realizando a geração das alocações. Os resultados podem ser vistos nas **tabela 1** e **tabela 2**.

Instâncias Heku				
Instância	Valor Ótimo	Valor Obtido	percentual	Tempo (s)
HeKu_5	450.0	450.0	0	2.120002
HeKu_6	720.0	720.0	0	3.417602
HeKu_7	1700.0	1700.0	0	5.511390
HeKu_8	2385.0	2385.0	0	12.239387
HeKu_12	8995.0	9865.0	9.67	5889.755081
HeKu_15	16640.0	18100.0	8.77	8895.12313

Tabela 1. Resultados para instâncias Heku.

6.3 Conclusão

Os experimentos realizados demonstram a capacidade do algoritmo para encontrar um valor, de solução, ótimo para instâncias com até nove salas. Em comparação com a literatura, os resultados obtidos indicam a falta de competitividade para instâncias de médio e grande porte, porém, o método é promissor para instâncias de pequeno porte, principalmente em questões de viabilidade de tempo.

Instâncias Si				
Instância	Valor Ótimo	Valor Obtido	percentual	Tempo (s)
Si_8_set1	408.0	416.0	1.96	12.268386
Si_8_set2	1135.5	1137.5	0.17	17.163927
Si_9_set1	1181.5	1186.5	0.42	81.745487
Si_9_set2	2295.5	2295.5	0	423.226576
Si_10_set1	1374.5	1434.5	4.36	1430.560340
Si_11_set1	3439.5	3632.5	5.61	4779.172566

Tabela 2. Resultados para instâncias Si.

Os experimentos realizados demonstram a capacidade do algoritmo para encontrar um valor de solução ótimo, em **tempo viável**, para instâncias de pequeno porte.

Considerando o método aleatório, implementado, para geração de alocações, a incorporação de métodos mais inteligentes, como busca local ou outros tipos de metaheurísticas, combinados com a utilização de um resolvidor matemático, criam a hipótese da otimização na busca pela solução ótima e melhoria no resultado obtido, principalmente para instâncias de médio e grande porte.

7 Referências

- [Ahonen et al., 2014] Ahonen, H., de Alvarenga, A. G., and Amaral, A. (2014). Simulated annealing and tabu search approaches for the corridor allocation problem. *European Journal of Operational Research*, 232(1):221–233.
- [Amaral, 2012] Amaral, A. R. (2012). The corridor allocation problem. *Computers & Operations Research*, 39(12):3325–3330.
- [Chung and Tanchoco, 2010] Chung, J. and Tanchoco, J. (2010). The double row layout problem. *International Journal of Production Research*, 48(3):709–727.
- [Ghosh and Kothari, 2012a] Ghosh, D. and Kothari, R. (2012a). Population heuristics for the corridor allocation problem.
- [Ghosh and Kothari, 2012b] Ghosh, D. and Kothari, R. (2012b). Population heuristics for the corridor allocation problem.
- [Kothari and Ghosh, 2012] Kothari, R. and Ghosh, D. (2012). The single row facility layout problem: state of the art. *Opsearch*, 49(4):442–462.
- [Kothari and Ghosh, 2013] Kothari, R. and Ghosh, D. (2013). Insertion based lin–kernighan heuristic for single row facility layout. *Computers & Operations Research*, 40(1):129–136.
- [Kothari and Ghosh, 2014] Kothari, R. and Ghosh, D. (2014). A scatter search algorithm for the single row facility layout problem. *Journal of Heuristics*, 20(2):125–142.
- [Santana and dos Santos,] Santana, C. A. and dos Santos, A. G. Uma heurística baseada na busca local iterada para o problema de alocação de corredor.
- [Simmons, 1969] Simmons, D. M. (1969). One-dimensional space allocation: an ordering algorithm. *Operations Research*, 17(5):812–826.